

# Приложения теории формальных языков и синтаксического анализа

Семён Григорьев

12 июля 2021 г.



# Оглавление

<b>1</b>	<b>Алгоритм на основе восходящего анализа</b>	<b>5</b>
1.1	Восходящий синтаксический анализ . . . . .	5
1.1.1	LR(0) алгоритм . . . . .	7
1.1.2	SLR(1) алгоритм . . . . .	8
1.1.3	CLR(1) алгоритм . . . . .	9
1.1.4	Примеры . . . . .	9
1.1.5	Сравнение классов LL и LR . . . . .	15
1.2	GLR и его применение для КС запросов . . . . .	16
1.2.1	Классический GLR алгоритм . . . . .	17
1.2.2	Модификации GLR . . . . .	20



# Глава 1

## Алгоритм на основе восходящего анализа

В данном разделе будут рассмотрены алгоритмы восходящего синтаксического анализа LR-семейства, в том числе Generalized LR (GLR). Также будет рассмотрено обобщение алгоритма GLR для решения задачи поиска путей с контекстно-свободными ограничениями в графах.

### 1.1 Восходящий синтаксический анализ

Существует большое семейство  $LR(k)$  алгоритмов — алгоритм восходящего синтаксического анализа. Основная идея, лежащая в основе семейства, заключается в следующем: входная последовательность символов считывается слева направо с попутным добавлением в стек и выполнением сворачивания на стеке — замены последовательности терминалов и нетерминалов, лежащих наверху стека, на нетерминал, если существует соответствующее правило в исходной грамматике.

Как и в случае с LL используется магазинный автомат, управляемый таблицами, построенными по грамматике. При этом, у LR анализатора есть два типа команд:

1. `shift` — прочитать следующий символ входной последовательности, положив его в стек, и перейти в следующее состояние;
2. `reduce(k)` — применить  $k$ -ое правило грамматики, правая часть которого уже лежит на стеке: снимаем со стека правую часть продукции и кладем левую часть.

А управляющая таблица выглядит следующим образом.

States	$t_0$	...	$t_a$	...	\$	$N_0$	...	$N_b$	...
...	...	...	...	...	...	...	...	...	...
10	...	...	$s_i$	...	$r_k$	...	...	$j$	...
...	...	...	...	...	<i>acc</i>	...	...	...	...

Здесь

- $s_i$  — shift: перенести соответствующи символ в стек и перейти в состояние  $i$ .
- $r_k$  — reduce(k): в стеке накопилась правая часть продукции  $k$ , пора производить свёртку.
- $j$  — goto: выполняется после reduce. Сама по себе команда reduce не переводит автомат в новое состояние. Команда goto переведёт автомат в состояние  $j$ .
- *acc* — accept: разбор завершился успешно.

Если ячейка пустая и в процессе работы мы пропали в неё — значит произошла ошибка. Для детерминированной работы анализатора требуется, чтобы в каждой ячейке было не более одной команды. Если это не так, то говорят о возникновении конфликтов.

- shift-reduce — ситуация, когда не понятно, читать ли следующий символ или выполнить reduce. Например, если правая часть одного из правил является префиксом правой части другого правила:  $N \rightarrow w, M \rightarrow ww'$ .
- reduce-reduce — ситуация, когда не понятно, к какому правилу нужно применить reduce. Например, если есть два правила с одинаковыми правыми частями:  $N \rightarrow w, M \rightarrow w$ .

Принцип работы LR анализаторов следующий. Пусть у нас есть входная строка, LR-автомат со стеком и управляющая таблица. В начальный момент на стеке лежит стартовое состояние LR-автомата, позиция во входной строке соответствует её началу. На каждом шаге анализируется текущий символ входа и текущее состояние, в котором находится автомат, и совершается одно из действий:

- Если в управляющей таблице нет инструкции для текущего состояния автомата и текущего символа на входе, то завершаем разбор с ошибкой.
- Иначе выполняем одну из инструкций:
  - в случае *acc* — успешно завершаем разбор.
  - в случае *shift* — кладем на стек текущий символ входа, сдвигая при этом текущую позицию, и номер нового состояния. Переходим в новое состояние.
  - в случае *reduce(k)* — снимаем со стека  $2l$  элементов:  $l$  состояний и  $l$  терминалов/нетерминалов (где  $l$  — длина правой части  $k$ -ого правила), кладем на стек нетерминал левой части правила. Теперь на вершине стека у нас нетерминал  $N_a$ , а следующий элемент — состояние  $i$ . Если в ячейке  $(i, N_a)$  управляющей таблицы лежит состояние  $j$ , то кладем его на вершину стека. Иначе завершаем с ошибкой.

Разные алгоритмы из LR-семейства строят таблицы разными способами и, соответственно, могут избегать тех или иных конфликтов. Рассмотрим некоторых представителей.

### 1.1.1 LR(0) алгоритм

Данный алгоритм самый “слабый” из семейства — разбирает наименьший класс языков. Для построения используются LR(0) пункты.

**Определение 1.1.1.** LR(0) пункт (LR(0) item) — правило грамматики, в правой части которого имеется точка, отделяющая уже разобранный часть правила (слева от точки) от того, что еще предстоит распознать (справа от точки):  $A \rightarrow \alpha \cdot \beta$ , где  $A \rightarrow \alpha\beta$  — правило грамматики.  $\square$

Состояние LR(0) автомата — множество LR(0) пунктов. Для того чтобы их построить используется операция *closure* или *замыкание*.

**Определение 1.1.2.**  $closure(X) = closure(X \cup \{M \rightarrow \cdot \gamma \mid N_i \rightarrow \alpha \cdot M\beta \in X\})$   $\square$

**Определение 1.1.3.** Ядро — исходное множество пунктов, до применения к нему замыкания.  $\square$

Для перемещения точки в пункте используется функция *goto*.

**Определение 1.1.4.**  $goto(X, p) = \{N_j \rightarrow \alpha p \cdot \beta \mid N_j \rightarrow \alpha \cdot p\beta \in X\}$   $\square$

Теперь мы можем построить LR(0) автомат. Первым шагом необходимо расширить грамматику: добавить к исходной грамматике правило вида  $S' \rightarrow S\$$ , где  $S$  — стартовый нетерминал исходной грамматики,  $S'$  — новый стартовый нетерминал (не использовался ранее в грамматике),  $\$$  — маркер конца строки (не входил в терминальный алфавит исходной грамматики).

Далее строим автомат по следующим принципам.

- Состояния — множества пунктов.
- Переходы между состояниями осуществляются по символам грамматики.
- Начальное состояние —  $\text{closure}(\{S' \rightarrow \cdot S\})$ .
- Следующее состояние по текущему состоянию  $X$  и символу  $p$  вычисляются как  $\text{closure}(\text{goto}(X, p))$

Управляющая таблица по автомату строится следующим образом.

- $\text{acc}$  в ячейку, соответствующую финальному состоянию и  $\$$
- $s_i$  в ячейку  $(j, t)$ , если в автомате есть переход из состояния  $j$  по терминалу  $t$  в состояние  $i$
- $i$  в ячейку  $(j, N)$ , если в автомате есть переход из состояния  $j$  по нетерминалу  $N$  в состояние  $i$
- $r_k$  в ячейку  $(j, t)$ , если в состоянии  $j$  есть пункт  $A \rightarrow \alpha \cdot$ , где  $A \rightarrow \alpha$  —  $k$ -ое правило грамматики,  $t$  — терминал грамматики

### 1.1.2 SLR(1) алгоритм

SLR(1) анализатор отличается от LR(0) анализатора построением таблицы по автомату (автомат в точности как у LR(0)). А именно,  $r_k$  добавляется в ячейку  $(j, t)$ , если в состоянии  $j$  есть пункт  $A \rightarrow \alpha \cdot$ , где  $A \rightarrow \alpha$  —  $k$ -ое правило грамматики,  $t \in \text{FOLLOW}(A)$



### 1.1.3 CLR(1) алгоритм

Canonical LR(1), он же LR(1). Данный алгоритм является дальнейшим расширением SLR(1): к пунктам добавляются множества предпросмотра (lookahead).

**Определение 1.1.5.** Множество предпросмотра для правила  $P$  — терминалы, которые должны встретиться в выведенной строке сразу после строки, выводимой из данного правила.  $\square$

**Определение 1.1.6.** CLR пункт:  $[A \rightarrow \alpha \cdot \beta, \{t_0, \dots, t_n\}]$ , где  $t_0, \dots, t_n$  — множество предпросмотра для правила  $A \rightarrow \alpha\beta$ .  $\square$

**Определение 1.1.7.** Пусть дана грамматика  $G = \langle \Sigma, N, R, S \rangle$ .

$$\begin{aligned} closure(X) = closure(X \cup \{[B \rightarrow \cdot \delta, \{FIRST(\beta t_0), \dots, FIRST(\beta t_n)\}] \\ | B \rightarrow \beta \in R, [A \rightarrow \alpha \cdot B\beta, \{t_0, \dots, t_n\}] \in closure(X)\}) \end{aligned}$$

$\square$

Функция *goto* определяется аналогично LR(0), автомат строится по тем же принципам.

При построении управляющей таблицы усиливается правило добавления команды *redice*. А именно, добавляем  $r_k$  в ячейку  $(j, t_i)$ , если в состоянии  $j$  есть пункт  $[A \rightarrow \alpha \cdot, \{t_0, \dots, t_n\}]$ , где  $A \rightarrow \alpha$  —  $k$ -ое правило грамматики.

### 1.1.4 Примеры

Рассмотрим построение автоматов и таблиц для различных модификаций LR алгоритма.

Возьмем следующую грамматику:

$$\begin{aligned} 0) S &\rightarrow aSbS \\ 1) S &\rightarrow \varepsilon \end{aligned}$$

Расширим вышеупомянутую грамматику, добавив новый стартовый нетерминал  $S'$ , и далее будем работать с этой расширенной грамматикой:

$$\begin{aligned} 0) S &\rightarrow aSbS \\ 1) S &\rightarrow \varepsilon \\ 2) S' &\rightarrow S\$ \end{aligned}$$

**Пример 1.1.1.** Пример ядра и замыкания.

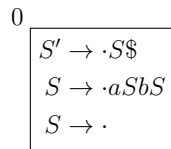
Возьмем правило 2 нашей грамматики, предположим, что мы только начинаем разбирать данное правило.

Ядром в таком случае является item исходного правила:  $S' \rightarrow .S\$$

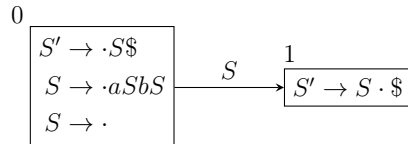
При замыкании добавятся ещё два item'а с правилами по выводу нетерминала 'S', поэтому получаем три item'а:  $S' \rightarrow .S\$$ ,  $S \rightarrow .aSbS$  и  $S \rightarrow .\epsilon$

**Пример 1.1.2.** Пример построения LR(0)-автомата для нашей грамматики с применением замыкания.

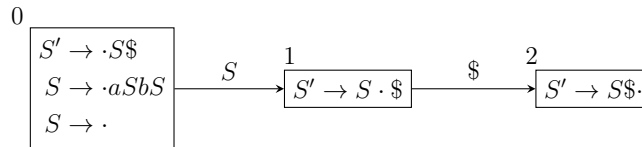
1. Добавляем стартовое состояние: item правила 0 и его замыкание (вместо item'а  $S \rightarrow .\epsilon$  будем писать  $S \rightarrow .$ ).



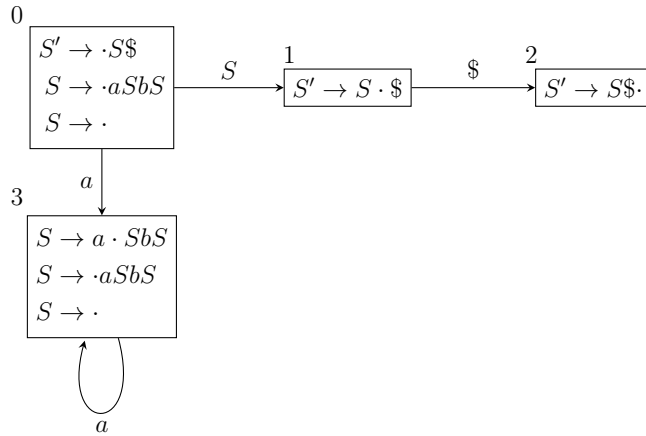
2. По 'S' добавляем переход из стартового состояния в новое состояние 1.



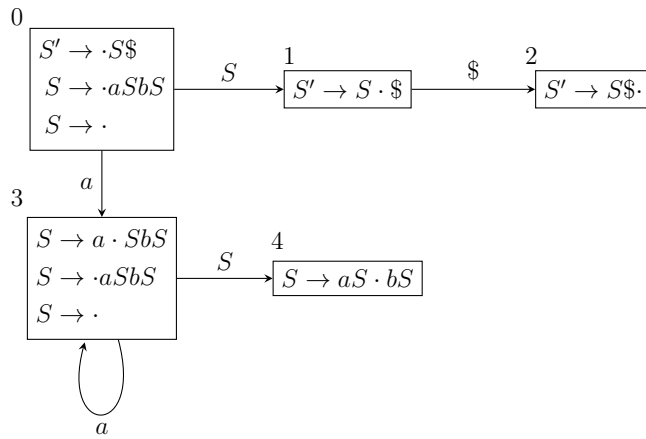
3. По '\$' добавляем переход из состояния 1 в новое состояние 2.



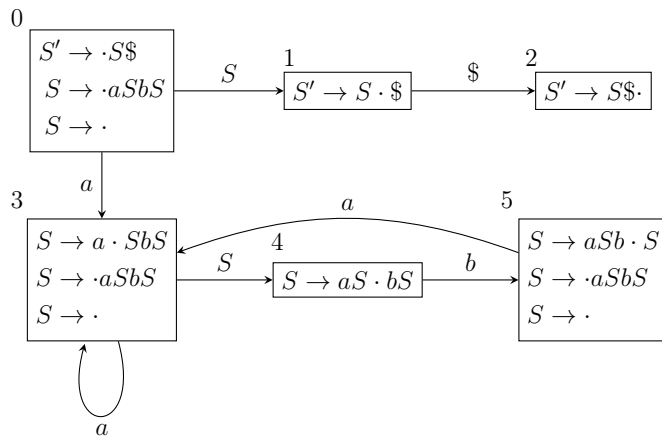
4. По 'a' добавляем переход из стартового состояния в новое состояние 3 и делаем его замыкание. Также добавляем переход по 'a' из этого состояния в себя же.



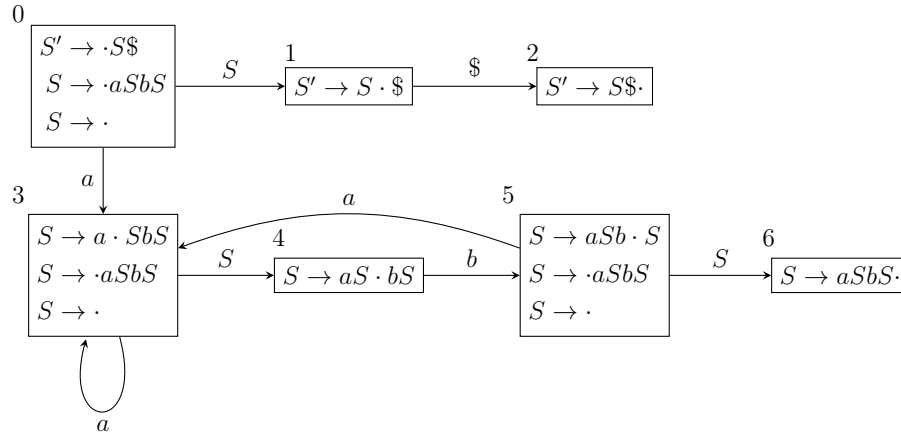
5. По 'S' добавляем переход из состояния 3 в новое состояние 4.



6. По 'b' добавляем переход из состояния 4 в новое состояние 5 и делаем его замыкание. Также добавляем переход по 'a' из этого состояния в состояние 3.



7. По 'S' добавляем переход из состояния 5 в новое состояние 6. Завершаем построение LR-автомата.



Далее будем использовать этот автомат для построения управляющей таблицы.

**Пример 1.1.3.** Пример управляющей LR(0) таблицы.

	a	b	\$	S
0	$s_3, r_1$	$r_1$	$r_1$	1
1			acc	
2	$r_2$	$r_2$	$r_2$	
3	$s_3, r_1$	$r_1$	$r_1$	4
4		$s_5$		
5	$s_3, r_1$	$r_1$	$r_1$	6
6	$r_0$	$r_0$	$r_0$	

Как видим, в данном случае в таблице присутствуют shift-reduce конфликты. В случае, когда не удаётся построить таблицу без конфликтов, говорят, что грамматика не LR(0).

□

**Пример 1.1.4.** Пример управляющей LR(1) таблицы. Автомат тот же, однако команды *reduce* расставляются с использованием FOLLOW.

$$FOLLOW_1(S) = \{b, \$\}$$

	a	b	\$	S
0	$s_3$	$r_1$	$r_1$	1
1			acc	
2				
3	$s_3$	$r_1$	$r_1$	4
4		$s_5$		
5	$s_3$	$r_1$	$r_1$	6
6		$r_0$	$r_0$	

В данном случае в таблице отсутствуют shift-reduce конфликты. То есть наша грамматика SLR(1), но не LR(0).

□

**Пример 1.1.5.** Пример LR-разбора входного слова  $abab\$$  из языка нашей грамматики с использованием построенных ранее LR-автомата и управляющей таблицы.

1. Начало разбора. На стеке — стартовое состояние 0.

Вход: 

a	b	a	b	\$
---	---	---	---	----

  
Стек: 

0	
---	--

2. Выполняем shift 3: сдвигаем указатель на входе, кладем на стек 'a', новое состояние 3 и переходим в него.

Вход: 

a	b	a	b	\$
---	---	---	---	----

  
Стек: 

0	a	3	
---	---	---	--

3. Выполняем reduce 1 (кладем на стек 'S'), кладем новое состояние 4 и переходим в него.

Вход: 

a	b	a	b	\$
---	---	---	---	----

  
Стек: 

0	a	3	S	4	
---	---	---	---	---	--

4. Выполняем shift 5: сдвигаем указатель на входе, кладем на стек 'b', новое состояние 5 и переходим в него.

Вход: 

a	b	a	b	\$
---	---	---	---	----

Стек: 

0	a	3	S	4	b	5	
---	---	---	---	---	---	---	--

5. Выполняем shift 3.

Вход: 

a	b	a	b	\$
---	---	---	---	----

  
 Стек: 

0	a	3	S	4	b	5	a	3	
---	---	---	---	---	---	---	---	---	--

6. Выполняем reduce 1, кладем новое состояние 4 и переходим в него.

Вход: 

a	b	a	b	\$
---	---	---	---	----

  
 Стек: 

0	a	3	S	4	b	5	a	3	S	4	
---	---	---	---	---	---	---	---	---	---	---	--

7. Выполняем shift 5.

Вход: 

a	b	a	b	\$
---	---	---	---	----

  
 Стек: 

0	a	3	S	4	b	5	a	3	S	4	b	5	
---	---	---	---	---	---	---	---	---	---	---	---	---	--

8. Выполняем reduce 1, кладем новое состояние 6 и переходим в него.

Вход: 

a	b	a	b	\$
---	---	---	---	----

  
 Стек: 

0	a	3	S	4	b	5	a	3	S	4	b	5	S	6	
---	---	---	---	---	---	---	---	---	---	---	---	---	---	---	--

9. Выполняем reduce 0 (снимаем со стека 8 элементов и кладем 'S'), оказываемся в состоянии 5 и делаем переход в новое состояние 6 с добавлением его на стек.

Вход: 

a	b	a	b	\$
---	---	---	---	----

  
 Стек: 

0	a	3	S	4	b	5	S	6	
---	---	---	---	---	---	---	---	---	--

10. Снова выполняем reduce 0, оказываемся в состоянии 0 и делаем переход в новое состояние 1 с добавлением его на стек. Заканчиваем разбор.

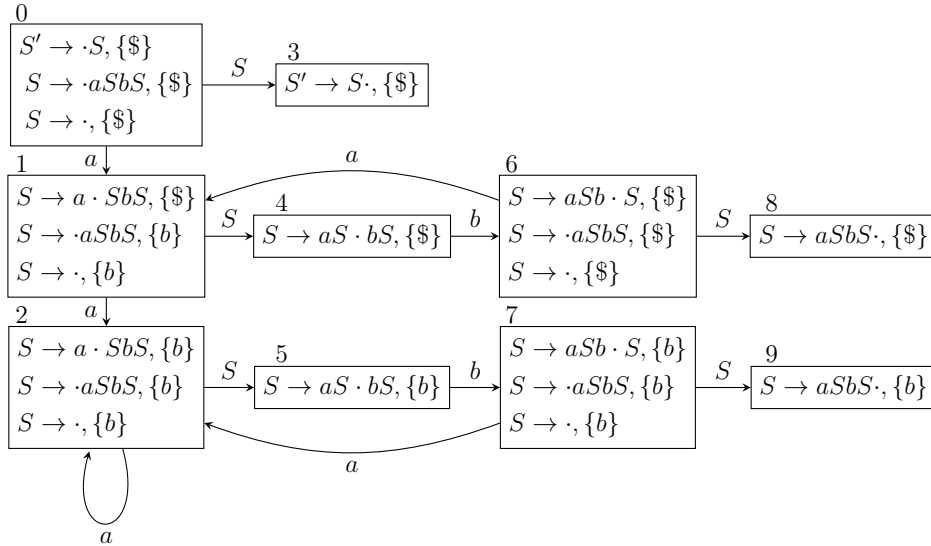
Вход: 

a	b	a	b	\$
---	---	---	---	----

  
 Стек: 

0	S	1	
---	---	---	--

□

**Пример 1.1.6.** Пример CLR автомата.

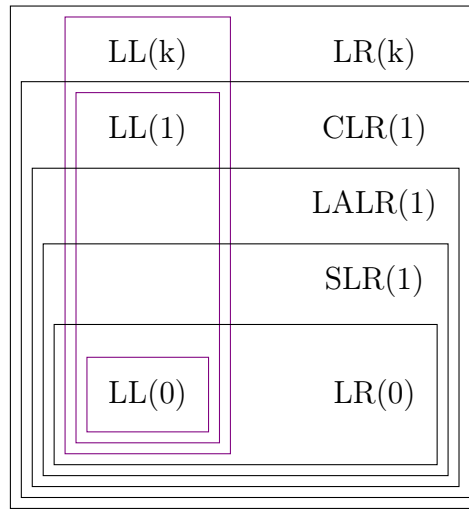
□

Существуют и другие модификации, например LALR(1)

На практике конфликты стараются решать ещё и на этапе генерации. Прикладные инструменты могут сгенерировать парсер по неоднозначной грамматике: из переноса или свёртки выбирать перенос, из нескольких свёрток — первую в каком-то порядке (обычно в порядке появления соответствующих productions в грамматике).

**1.1.5 Сравнение классов LL и LR**

Иерархию языков, распознаваемых различными классами алгоритмов, можно представить следующим образом.



Из диаграммы видно, что класс языков, распознаваемых  $LL(k)$  алгоритмом уже, чем класс языков, распознаваемый  $LR(k)$  алгоритмом, при любом конечном  $k$ . Приведём несколько примеров.

1.  $L = \{a^m b^n c \mid m \geq n \geq 0\}$  является  $LR(0)$ , но для него не существует  $LL(1)$  грамматики.
2.  $L = \{a^n b^n + a^n c^n \mid n > 0\}$  является  $LR$ , но не  $LL$ .
3. Больше примеров можно найти в работе Джона Битти [1].

## 1.2 GLR и его применение для КС запросов

Алгоритм  $LR$  довольно эффективен, однако позволяет работать не со всеми КС-грамматиками, а только с их подмножеством  $LR(k)$ . Если грамматика находится за рамками допустимого класса, некоторые ячейки управляющей таблицы могут содержать несколько значений. В этом случае грамматика отвергалась анализатором.

Чтобы допустить множественные значения в ячейках управляющей таблицы, потребуется некоторый вид недетерминизма, который даст возможность анализатору обрабатывать несколько возможных вариантов синтаксического разбора параллельно. Именно это и предлагает анализатор Generalized LR (GLR) [4]. Далее мы рассмотрим общий принцип работы, проиллюстрируем его с помощью примера, а также рассмотрим модификации GLR.



### 1.2.1 Классический GLR алгоритм

Впервые GLR парсер был представлен Масару Томитой в 1987 [4]. В целом, алгоритм работы идентичен LR той разницей, что управляющая таблица модифицирована таким образом, чтобы допускать множественные значения в ячейках. Интерпретатор автомата изменён соответствующим образом.

Для того, чтобы избежать дублирования информации при обработке неоднозначностей, стоит использовать более сложную структуру стека: *граф-структурированный стек* или (*GSS*, Graph Structured Stack). Это направленный граф, в котором вершины соответствуют элементам стека, а ребра их соединяют по правилам управляющей таблицы. У каждой вершины может быть несколько входящих и исходящих дуг: таким образом реализуется то объединение одинаковых состояний и ветвление в случае неоднозначности.

**Пример 1.2.1.** Рассмотрим пример GLR разбора с использованием GSS.

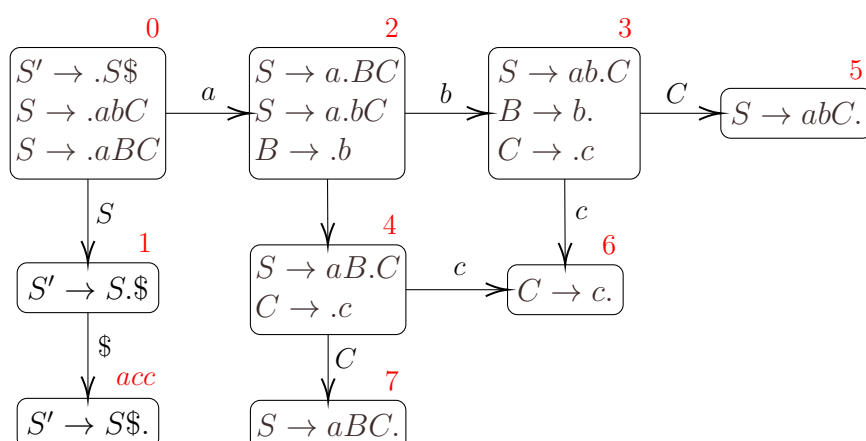
Возьмем грамматику  $G$  следующего вида:

0.  $S' \rightarrow S\$$
1.  $S \rightarrow abC$
2.  $S \rightarrow aBC$
3.  $B \rightarrow b$
4.  $C \rightarrow c$

Входное слово  $w$ :

$$w = abc\$$$

Построим для данной грамматики LR автомат:



И управляющую таблицу:

	a	b	c	\$	B	C	S
0	$s_2$					1	
1				acc			
2		$s_3$			4		
3			$s_6, r_3$			5	
4			$s_6$			7	
5				$r_1$			
6				$r_4$			
7				$r_2$			

Разберем слово  $w$  с помощью алгоритма GLR. Использована следующая аннотация: вершины-состояния обозначены кругами, вершины-символы — прямоугольниками.

1. Инициализируем GSS стартовым состоянием  $v_0$ :

Вход: 

a	b	c	\$
---	---	---	----

      GSS:  $\overset{v_0}{\textcircled{0}}$

2. Видим входной символ 'a', ищем соответствующую ему операцию в управляющей таблице — *shift* 2, строим новый узел  $v_1$ :

Вход: 

a	b	c	\$
---	---	---	----

      GSS:  $\overset{v_0}{\textcircled{0}} \leftarrow \boxed{a} \leftarrow \overset{v_1}{\textcircled{2}}$

3. Повторяем для символа 'b', операции *shift* 3 и узла  $v_2$ :

Вход: 

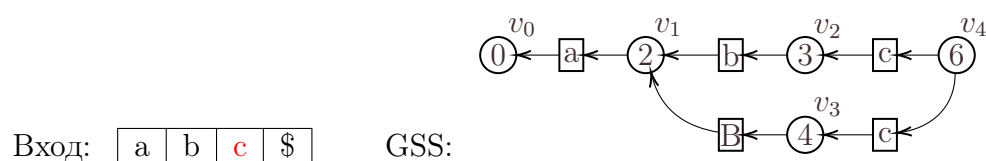
a	b	c	\$
---	---	---	----

      GSS:  $\overset{v_0}{\textcircled{0}} \leftarrow \boxed{a} \leftarrow \overset{v_1}{\textcircled{2}} \leftarrow \boxed{b} \leftarrow \overset{v_2}{\textcircled{3}}$

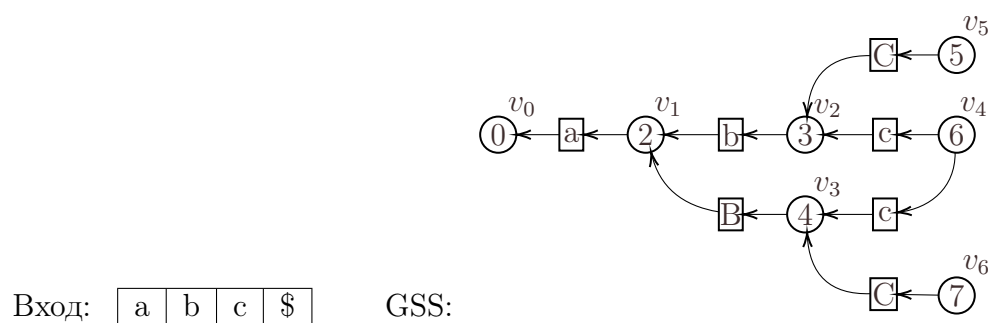
4. При обработке узла  $v_3$  у нас возникает конфликт shift-reduce:  $s_6, r_3$ . Мы посмотрим на вершины, смежные  $v_2$ , на управляющую таблицу и на правило вывода под номером 3 для поиска альтернативного построения стека. Находим *goto* 4 и строим вершину  $v_3$  с соответствующим переходом по нетерминалу  $B$  из  $v_1$  (т.к. количество символов в правой части правила вывода 3 равняется 1, значит мы в дереве опустимся на глубину 1 по вершинам-состояниям):



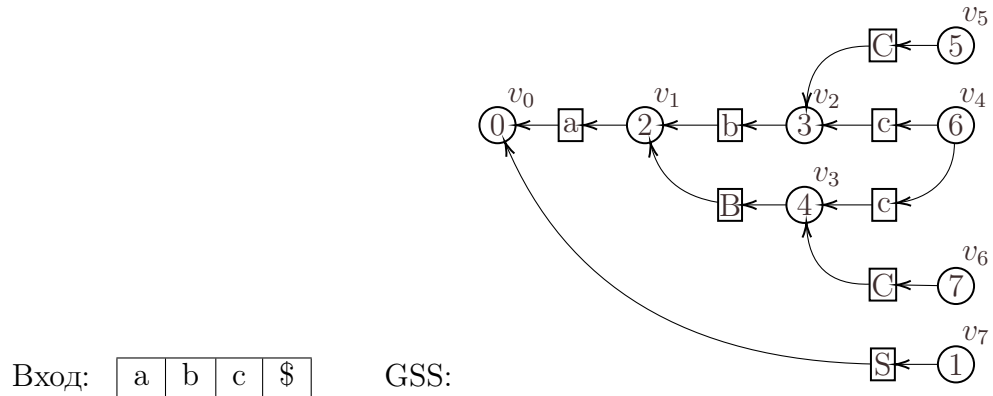
5. Читаем символ 'с' и ищем в управляющей таблице переходы из состояний 3 и 4 (так как узлы  $v_2$  и  $v_3$  находятся на одном уровне, то есть были построены после чтения одного символа из входного слова). Таким переходом оказывается  $s_6$  в обоих случаях, поэтому соединяем узел  $v_4$  с обоими рассмотренными узлами:



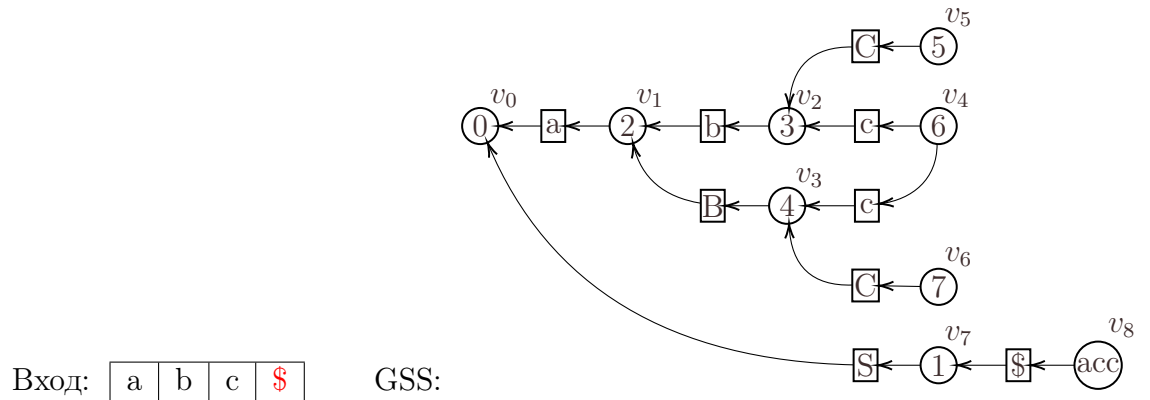
6. При обработке узла  $v_4$  находим соответствующую 6-ому состоянию редукцию по правилу 4. Его правая часть содержит один символ 'с', 2 вершины-символа с которым достижимы из  $v_4$ . Находим вершины-состояния, которые смежны с этими вершинами-символами и обрабатываем переходы по левой части правила 4. Такими переходами по нетерминалу  $S$  оказываются 5 и 7. Строим соответствующие им вершины  $v_5$  и  $v_6$ :



7. При обработке узлов  $v_5$  и  $v_6$  находим редукции с символом 'S' в левой части и тремя символами в правой. Возвращаемся на 3 вершины-состояния назад и строим вершину  $v_7$  с переходом по  $S$ :



8. Наконец, обрабатывая вершину  $v_7$ , читаем символ '\$' и строим узел  $v_8$ , который соответствует допускаящим состоянием:



### 1.2.2 Модификации GLR

Алгоритм, представленный Томитой имел большой недостаток: он корректно работал не со всеми КС грамматиками, хоть и расширял класс допустимых LR анализаторами. Объем потребляемой памяти классическим GLR можно оценить как  $O(n^3)$  с учетом оптимизаций, о которых говорилось ранее.

Спустя некоторое время после публикации Томита-парсера, Элизабет Скотт и Эндрю Джонстоун представили *RNGLR* (Right Nulled GLR) [2] — модифицированная версия GLR, которая решала проблему скрытых рекурсий. Это позволило расширить класс допускаемых грамматик до КС. Однако объем потребляемой памяти можно оценить сверху уже полиномом  $O(n^{k+1})$ , где  $k$  — длина самого длинного правила грамматики, что несколько ухудшило оценку классического GLR.

С этой проблемой справился BRNGLR (Binary RNGLR) [3]. За счет бинаризации удалось получить кубическую оценку сложности и при этом также, как и RNGLR, допускать все КС грамматики.

Кроме того, GLR довольно естественно обобщается до решения задачи поиска путей с КС ограничениями. Это происходит следующим образом: элементами во входной структуре теперь будем считать не позиции символа в слове, а вершины графа (то есть “позици” и множество смежных вершин). Это приводит к тому, что при применении операции shift, следующих символов может быть несколько и каждый из них должен быть рассмотрен отдельно, сдвигаясь по соответствующему ребру и проходя входной граф в ширину. Подробное описание алгоритма и псевдокод представлены в работе [5].



# Литература

- [1] J. C. Beatty. Two iteration theorems for the  $ll(k)$  languages. *Theoretical Computer Science*, 12(2):193 – 228, 1980.
- [2] E. Scott and A. Johnstone. Right nulled glr parsers. *ACM Trans. Program. Lang. Syst.*, 28(4):577–618, July 2006.
- [3] E. Scott, A. Johnstone, and R. Economopoulos. Brnglr: A cubic tomita-style glr parsing algorithm. *Acta Inf.*, 44(6):427–461, Sept. 2007.
- [4] M. Tomita. An efficient augmented-context-free parsing algorithm. *Computational Linguistics*, 13:31–46, 1987.
- [5] E. Verbitskaia, S. Grigorev, and D. Avdyukhin. Relaxed parsing of regular approximations of string-embedded languages. In M. Mazzara and A. Voronkov, editors, *Perspectives of System Informatics*, pages 291–302, Cham, 2016. Springer International Publishing.